

# 复杂油样中硫化氢的直接质谱分析研究

张 源, 郑亚君, 路芳芳, 张智平

(西安石油大学化学化工学院, 陕西 西安 710065)

**摘要:** 复杂油样黏度高、本体复杂, 不利于其中硫化氢( $H_2S$ )的分析评价, 虽然已发展了多种用于复杂样品中  $H_2S$  检测的方法, 但是存在分析过程繁琐、误差大、灵敏度低等问题。本文基于三嗪与  $H_2S$  反应可生成噻二嗪的原理, 将含有  $H_2S$  的复杂原油样品直接加入含有三嗪的乙腈溶液进行反应, 通过对反应过程中实验参数的优化, 建立了复杂油样中  $H_2S$  的纸喷雾电离源-质谱分析方法。根据产物噻二嗪的质谱信号强度与  $H_2S$  浓度之间的关系, 构建  $H_2S$  定量分析标准曲线用于分析多种实际原油样品。结果表明, 该方法的线性范围为  $0.1\sim 1000 \mu\text{g/L}$ , 检出限为  $0.041 \mu\text{g/L}$ , 日内和日间精密度分别为  $3.04\%$ 、 $3.18\%$ ; 对采自不同地域的 6 种原油样品中  $H_2S$  进行快速质谱分析, 加标回收率为  $91.7\%\sim 103.5\%$ , 相对标准偏差为  $1.2\%\sim 4.5\%$ 。该方法具有操作简单、价格低廉、精密度高、准确性好、对仪器污染小等优点, 可为原油中  $H_2S$  的直接分析提供方法参考。

**关键词:** 质谱; 纸喷雾; 硫化氢; 三嗪; 油样

中图分类号: O657.63

文献标志码: A

文章编号: 1004-2997(2023)01-0046-09

doi: 10.7538/zpxb.2022.0019

## Direct Mass Spectrometric Analysis of Hydrogen Sulfide in Complex Oil Samples

ZHANG Yuan, ZHENG Ya-jun, LU Fang-fang, ZHANG Zhi-ping

(School of Chemistry and Chemical Engineering, Xi'an Shiyou University, Xi'an 710065, China)

**Abstract:** Due to the high viscosity and bulk complexity of crude oil samples, it poses a grand challenge to determine hydrogen sulfide ( $H_2S$ ) in them. Although many methods have been developed for the analysis of  $H_2S$  in complex systems, these methods generally have complex processes, large analysis error and low sensitivity. In the study, based on the reaction between triazine and  $H_2S$  by generating thiadiazine, a small volume of complex crude oil sample was introduced directly into a triazine solution using acetonitrile as solvent for transferring  $H_2S$  into detectable species by organic mass spectrometry. The experimental parameters of solution composition, acetic acid content, reaction time and reaction temperature were optimized, and the method of paper spray ionization-mass spectrometry (PSI-MS) was established for rapid analysis of  $H_2S$  in complex crude oil samples. An optimal performance was achieved when the reaction of triazine and  $H_2S$  was carried out at  $30^\circ\text{C}$  for 2 h with acetonitrile containing  $0.1\%$  acetic acid as solvent.

The standard curve for the quantitative analysis of H<sub>2</sub>S was constructed according to the linear relationship between MS signal intensity of resulting thiadiazine and the concentration of H<sub>2</sub>S, which was applied for actual crude oil samples from different sources. The results showed that the linear range and the limit of detection (LOD) were 0.1-1 000 μg/L and 0.041 μg/L with intra-day precision of 3.04% and inter-day precision of 3.18%, respectively. The PSI-MS was also employed to determine H<sub>2</sub>S in different actual crude oil samples, and the spiked recovery was 91.7%-103.5% with relative standard deviation (RSD) of 1.2%-4.5%. This method has the advantages of easy operation, low cost, high sensitivity and less contamination to mass spectrometer, which is promising for the direct and fast analysis of H<sub>2</sub>S in complex crude oil samples.

**Key words:** mass spectrometry; paper spray; hydrogen sulfide; triazine; oil sample

硫化氢(H<sub>2</sub>S)是一种具有臭鸡蛋味的无色酸性气体,广泛存在于污水处理、石油化工生产、天然气开采等领域。由于H<sub>2</sub>S具有高毒性、腐蚀性、易挥发性和可爆性等特点,对人们生命健康及生态环境造成了严重危害<sup>[1]</sup>。为此,快速评价不同复杂样品中H<sub>2</sub>S的含量具有重要意义。

目前,H<sub>2</sub>S的检测方法主要有汞量法<sup>[2]</sup>、碘量法<sup>[3]</sup>、亚甲基蓝比色法<sup>[4]</sup>、气相色谱法<sup>[5]</sup>等,但存在仪器成本高、操作繁琐等问题,且大多数方法仅适用于气态H<sub>2</sub>S的检测。例如,气相色谱法只能检测复杂体系中以气态形式存在的H<sub>2</sub>S,难以实现样品中以液态形式存在的H<sub>2</sub>S的检测<sup>[6]</sup>。为了解决这一问题,先后发展了间接离子色谱法<sup>[7]</sup>、荧光探针检测法<sup>[8]</sup>和电化学法<sup>[9]</sup>等。曾小岚等<sup>[7]</sup>采用间接离子色谱法测定原油中的H<sub>2</sub>S,但由于原油黏度大、组分复杂,需先对原油的吸收液进行预处理,再将其注入离子色谱仪分析,虽然该方法的适用范围宽,但操作繁琐。Jin等<sup>[10]</sup>选用二氯基亚甲基-苯丙吡喃作为近红外荧光基团,通过氰酸盐与H<sub>2</sub>S之间的快速亲核反应,使近红外荧光探针信号发生变化,实现对液体样品中H<sub>2</sub>S的直接检测,该方法克服了检测响应时间长的不足,但是合成荧光聚合物的成本较高。近年来,电化学传感器因成本低、易携带等特点迅速发展,张继东等<sup>[11]</sup>将原油在密闭环境水浴加热至流动,利用空气鼓泡萃取样品中的H<sub>2</sub>S,再利用电化学传感器对H<sub>2</sub>S进行快速测量,实现了复杂油样中H<sub>2</sub>S的快速检测,但是测量结果不够准确,且污染严重。

质谱(mass spectrometry, MS)是一种通过测定离子质荷比对待测化合物进行定性分析,根据浓度与信号强度之间的线性关系对化合物进行定量分析的方法。由于该方法具有灵敏度高、特异性强、选择性好等特点,在诸多领域得到广泛应用。1989年,耶鲁大学Fenn等<sup>[12]</sup>提出电喷雾电离源后,有效地解决了质谱技术分析生物大分子的难题,但是样品分析前需要繁琐的预处理过程。为了简化分析过程,普渡大学Cooks等<sup>[13]</sup>开发了可在常温常压条件下直接对样品进行电离的常压电离源,极大地提高了复杂样品中目标化合物的分析效率。随后开发了不同类型的常压电离源,如实时直接分析电离源<sup>[14]</sup>、萃取电喷雾电离源<sup>[15]</sup>、低温等离子体电离源<sup>[16]</sup>和纸喷雾电离源<sup>[17]</sup>等,不仅加快了样品分析速度、降低了分析成本,而且极大地促进了常压电离源在复杂样品分析中的应用。Madsen等<sup>[18]</sup>采用电喷雾电离质谱技术研究三嗪与硫化氢的反应产物,同时阐述了产物的生成途径。基于所得结论,该课题组<sup>[19]</sup>继续对炼油厂污垢中的H<sub>2</sub>S进行分析,探究污垢组成,为复杂样品中H<sub>2</sub>S的检测提供了参考。Wang等<sup>[20]</sup>采用纸喷雾电离源-质谱技术研究不同pH值条件下三嗪与硫化氢的反应产物及生成机理,为深入了解三嗪去除硫化氢过程提供了实验基础。目前,常压电离源-质谱技术对H<sub>2</sub>S的研究主要集中于机理探究和产物定性分析,而对H<sub>2</sub>S的定量分析鲜有报道。

纸喷雾电离源-质谱技术<sup>[21]</sup>因具有操作简单、分析速度快、重复性好、灵敏度高等特点而

被广泛应用于环境保护<sup>[22]</sup>、医药卫生<sup>[23]</sup>和食品安全<sup>[24]</sup>等领域,同时也用于不同化学反应过程的监测<sup>[25]</sup>及 H<sub>2</sub>S 反应机理的研究<sup>[20]</sup>。本研究将基于 H<sub>2</sub>S 与三嗪反应可生成噻二嗪的原理,将三嗪加载于原油溶液中,通过纸喷雾电离源-质谱法对反应溶液进行快速分析,根据 H<sub>2</sub>S 与三嗪反应产物的信号强度确定复杂油样中 H<sub>2</sub>S 含量。基于此,探究反应条件对三嗪与 H<sub>2</sub>S 反应效率的影响,考察方法的线性范围和精密度等,希望为快速定量检测复杂油样中 H<sub>2</sub>S 提供方法参考。

## 1 实验部分

### 1.1 主要仪器与装置

TSQ Quantum Access Max 质谱仪:美国 Thermo Fisher 科技有限公司产品,配有 Xcalibur 2.2 数据处理软件;电热恒温水浴锅:上海浦东物理光学仪器厂产品;QL-91 涡流振荡器:海门市其林贝尔仪器制造有限公司产品。

### 1.2 主要材料与试剂

甲醇、乙醇、异丙醇、丙酮、乙酸乙酯、乙腈(色谱级)、乙酸(纯度≥99.8%):北京百灵威科技有限公司产品;三嗪(纯度 97%):北京创新科技股份有限公司产品;硫化钠(Na<sub>2</sub>S·9H<sub>2</sub>O):天津富晨化学试剂厂产品;原油 1~6:陕西榆林长庆油田和延长石油集团产品;中速定量滤纸(直径 11 cm):杭州特种纸业有限公司产品;氩气(纯度≥99.99%):西安腾龙化工有限公司产品。

### 1.3 实验条件

**1.3.1 三嗪和硫化钠标准溶液的配制** 取 1.14 μL 三嗪加入到 1 mL 水溶液中,配制成 1 mL/L 三嗪标准水溶液;取 1 mg 硫化钠加入到 1 mL 水溶液中,配制成 1 g/L 硫化钠标准水溶液。

**1.3.2 反应溶液的配制** 取 1 μL 1 mL/L 三嗪标准水溶液、1 μL 1 g/L 硫化钠标准水溶液和 1 μL 乙酸加入到 997 μL 乙腈(或甲醇、乙醇、异丙醇、水、丙酮和乙酸乙酯)溶液中,配制成 1 mg/L 三嗪和硫化钠反应标准溶液,常温静置 2 h,备用。

**1.3.3 不同酸度反应溶液的配制** 将 1 μL 1 mL/L 三嗪标准水溶液转移至 998、997.5、

997、993、988、948、898 μL 乙腈溶液中,分别加入 1 μL 1 g/L 硫化钠标准水溶液,然后向上述溶液中加入 0、0.5、1、5、10、50、100 μL 乙酸溶液,使乙酸的体积百分比分别为 0%、0.05%、0.1%、0.5%、1%、5%、10%。

**1.3.4 不同反应时间溶液的制备** 取 1 μL 1 mL/L 三嗪标准水溶液、1 μL 1 g/L 硫化钠标准水溶液和 1 μL 乙酸加入到 997 μL 乙腈溶液中,室温下反应 0.1~9 h 后进行分析检测。

**1.3.5 不同反应温度溶液的制备** 将 1 μL 1 mL/L 三嗪标准水溶液、1 μL 1 g/L 硫化钠标准水溶液和 1 μL 乙酸加入到 997 μL 乙腈溶液中,在 0~70 °C 下反应 2 h 后进行,分析检测。

**1.3.6 油样溶液的制备** 将 10 μL 油样直接加入到装有 989 μL 乙腈的离心管中,再继续加入 1 μL 1 mL/L 三嗪标准溶液,充分振荡 1 min,室温下反应 2 h 后进行分析检测。

**1.3.7 纸喷雾电离-质谱分析** 首先将滤纸剪切成底宽 8 mm、高 13 mm 的等腰三角形,然后直接将 25 μL 上清液加载到纸基质表面,施加 3.5 kV 直流电压进行电喷雾分析,纸尖端与质谱进样口的距离约 8 mm,进样毛细管温度 270 °C,正离子模式下记录谱图,分析过程示于图 1。采用碰撞诱导解离(CID)方式分析三嗪与 H<sub>2</sub>S 的反应产物,选择离子监测(SRM)模式对产物噻二嗪的特征子离子(*m/z* 120)进行定量分析,其中质谱仪透镜电压 58 V,碰撞能 9 V。为确保分析数据的重复性和准确性,每个样品平行分析 4 次,每次分析过程从加载样品溶液到完成分析约 1 min,其中喷雾时间约 30 s。

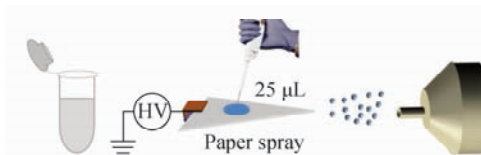


图 1 纸喷雾电离源质谱分析示意图

Fig. 1 Schematic diagram  
of paper spray mass spectrometry

## 2 结果与讨论

### 2.1 纸喷雾分析方法的建立

为了准确模拟样品溶液中 H<sub>2</sub>S 含量,首先

采用硫化钠与乙酸原位反应制备 H<sub>2</sub>S,再利用 H<sub>2</sub>S 与三嗪反应生成噻二嗪确定反应溶液中 H<sub>2</sub>S 含量。三嗪分子链上有 3 个氮原子,并含有活泼氢原子,可与 H<sub>2</sub>S 中的 S<sup>2-</sup>发生亲核取代反应生成噻二嗪,其反应过程示于图 2a。采用纸喷雾质谱法对原油中 H<sub>2</sub>S 进行分析时,由于原油颜色深且黏度大,直接分析会对质谱进样口造成严重污染,将少量原油加载到含有三嗪溶液的乙腈溶液中充分反应后分析,可以减小对仪器的污染,反应前后溶液的对比示于图 2b。

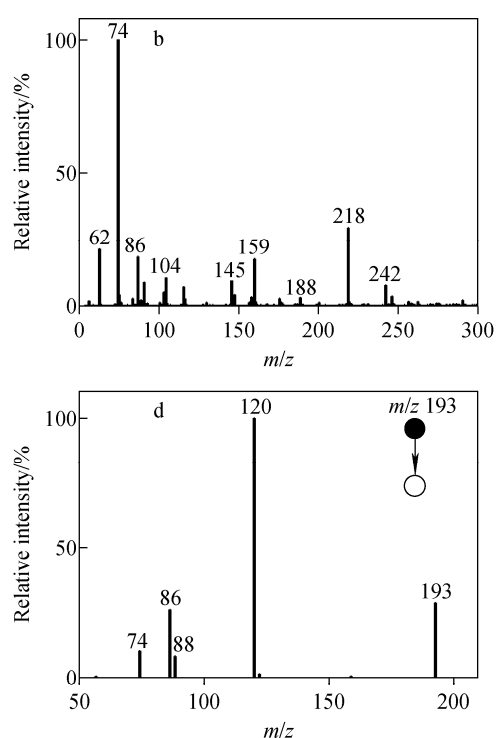
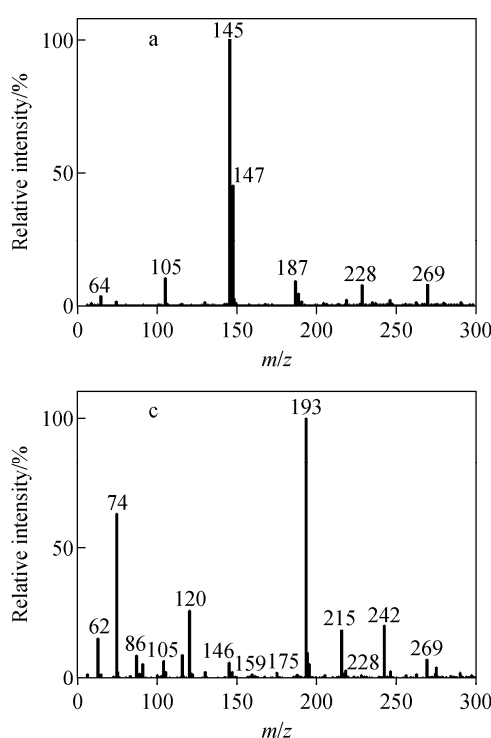
根据三嗪与 H<sub>2</sub>S 的反应机理<sup>[26]</sup>可知,硫化钠与乙酸原位反应生成 H<sub>2</sub>S,H<sub>2</sub>S 中 S<sup>2-</sup>取代三嗪中的 1 个氮原子生成噻二嗪(*m/z* 193)。为了研究反应过程,分别对反应物进行一级质谱扫描,硫化钠在含乙酸的乙腈溶液中生成甲腈化钠,示于图 3a,反应物三嗪在加载乙酸的乙腈溶液中易水解,生成 *m/z* 74,示于图 3b;反应物充分混合反应后,经一级质谱扫描,反应主产物为噻二嗪(*m/z* 193),示于图 3c。为了

验证主产物的结构,采用 CID 方式进行确认,选择丰度较高、干扰较小的碎片离子 *m/z* 120 作为定量离子,其二级质谱图示于图 3d。经反



图 2 三嗪与硫化氢的反应原理(a)、反应前后对比图(b)

Fig. 2 Reaction principle of triazine and hydrogen sulfide (a), comparison of the photographic images before and after the reaction (b)



注:a. 硫化钠;b. 三嗪;c. 三嗪和硫化钠

图 3 不同物质在含 0.1% 乙酸的乙腈溶液中的一级质谱图(a,b,c)以及噻二嗪的二级质谱图(d)

Fig. 3 Mass spectra of different compounds dissolved in acetonitrile contained 0.1% HOAc (a, b, c), and MS/MS spectrum of thiadiazine (d)

应条件优化,质谱仪透镜电压58 V,碰撞能9 V,根据特征子离子( $m/z$  120)的信号强度与H<sub>2</sub>S浓度成正比的关系,采用SRM模式进行定量分析。

## 2.2 实验条件优化

**2.2.1 溶剂优化** 溶剂的极性和挥发性对H<sub>2</sub>S质谱分析的灵敏度具有重要影响。本研究考察了甲醇、水、乙醇、异丙醇、丙酮、乙腈和乙酸乙酯等7种溶剂对反应产物噻二嗪特征子离子( $m/z$  120)信号强度的影响,结果示于图4a。可以看出,当采用乙腈、丙酮和乙酸乙酯等非质子化溶剂时,待测化合物的分析灵敏度明显高于水、甲醇、乙醇和异丙醇等质子化溶剂,这可能是因为质子溶剂与反应物或产物之间存在强烈的氢键作用力。对于不同类型的非质子化溶剂,乙酸乙酯易水解;丙酮在酸存在的条件下会发生缩合反应;乙腈稳定性最好,且作为反应溶剂时的分析信号最强,是其他溶剂体系的5~50倍。因此,后续实验选择乙腈作为溶剂。

**2.2.2 酸含量的影响** 酸在反应过程中提供氢离子,对三嗪与H<sub>2</sub>S的反应影响显著。本实验考察了乙酸含量对产物噻二嗪特征子离子( $m/z$  120)信号强度的影响,结果示于图4b。可以看出,随着乙酸含量的增加,噻二嗪特征子离子的分析信号强度先增强后降低;当乙酸含量低于0.1%时,Na<sub>2</sub>S转化不完全,生成的H<sub>2</sub>S含量较少,特征子离子的信号强度较低;当乙酸含量高于0.1%时,由乙酸与Na<sub>2</sub>S之间的反应摩尔比可知,反应体系中酸过量,此时三嗪不稳定,导致产物噻二嗪生成速率降低,信号强度降低;当乙酸含量为0.1%时,信号强度最强。

**2.2.3 反应时间的影响** 本实验考察了不同反应时间对噻二嗪信号强度的影响,结果示于图4c。可见,反应时间在0.5~2 h时,噻二嗪的信号强度随反应时间的延长而增强;当反应时间超过2 h后,信号强度显著下降。这是由于随着反应时间的延长,Na<sub>2</sub>S转化完全,产物噻二嗪的生成量增加;当反应物完全转化后,由

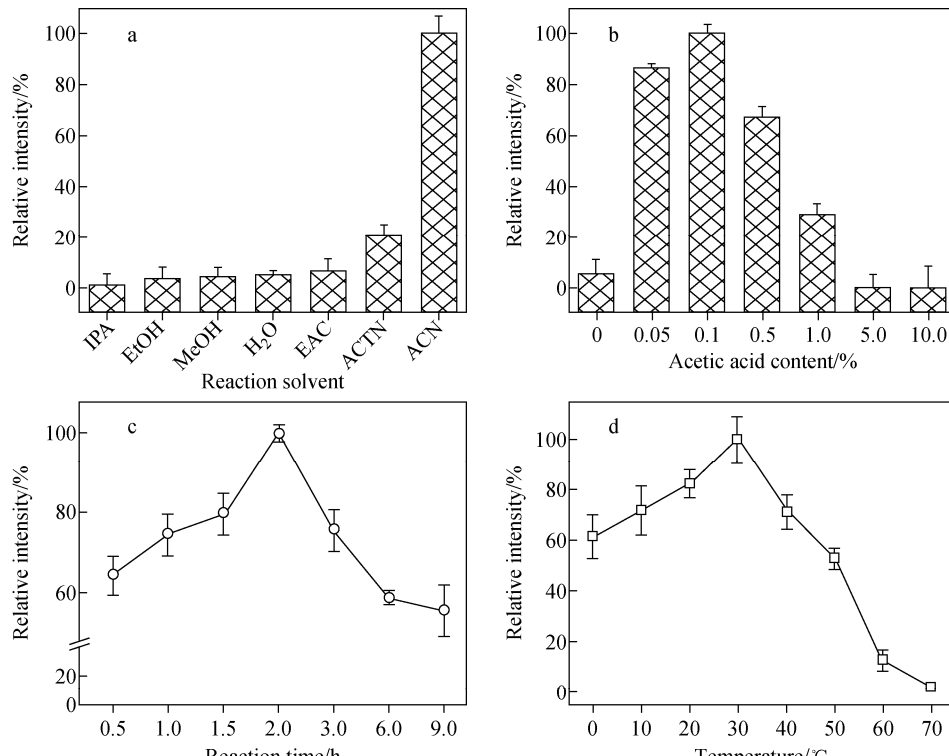


图4 反应溶剂(a)、乙酸含量(b)、反应时间(c)和温度(d)对噻二嗪特征子离子( $m/z$  120)分析信号强度的影响

Fig. 4 Effect of reaction solvent (a), acetic acid content (b), reaction time (c) and temperature (d) on signal intensity of thiadiazine characteristic ion ( $m/z$  120)

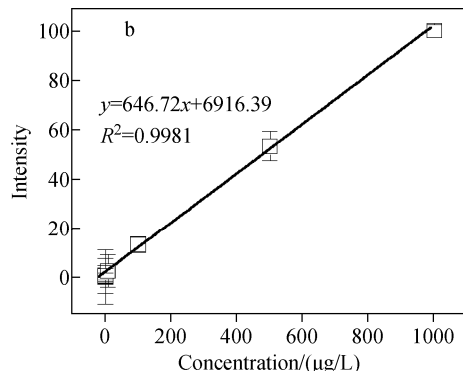
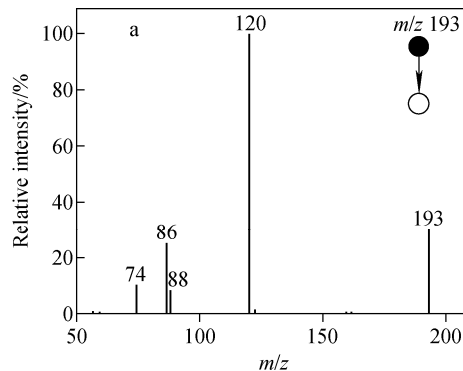
于噻二嗪的稳定性较差而分解,使其信号强度降低。

**2.2.4 反应温度的影响** 本实验考察了不同反应温度对噻二嗪信号强度的影响,结果示于图 4d。可见,随着温度升高,噻二嗪的信号强度呈先增加后降低的趋势;当温度为 30 ℃时,噻二嗪的信号强度最强。这是由于温度升高促使三嗪与 H<sub>2</sub>S 反应生成噻二嗪,继续升高温度,三嗪水解程度增大、浓度降低,使噻二嗪的生成量减少,信号强度下降。

## 2.3 分析性能

**2.3.1 标准曲线、检出限和精密度** 准确配制 1 mg/L 硫化钠标准溶液,通过逐级稀释,得到 0.01~500 μg/L 硫化钠系列标准溶液。在优

化的实验条件下向其中加入 0.1% 乙酸和 1 μL 1 mg/L 三嗪标准溶液,采用纸喷雾质谱法对反应溶液进行定量分析,每个浓度做 4 次平行实验,结果示于图 5。可以看出,在 0.1~1 000 μg/L 浓度范围内,相关系数( $R^2$ )为 0.998,检出限为 0.041 μg/L,相对标准偏差(RSD)为 4.27%。通过连续 5 天对 H<sub>2</sub>S 定量分析以验证方法的精密度, $R^2$  均大于 0.99,结果示于附图 1(请登录《质谱学报》官网 <http://www.jcmss.com.cn> 下载,以下同)。同时考察了 1 天 6 次不同时间段的日内精密度和连续 5 天的日间精密度,结果分别为 3.04% 和 3.18%。结果表明,该方法的稳定性较好,能够满足复杂油样中 H<sub>2</sub>S 检测的需求。



注:溶剂为乙腈,酸含量 0.1%,反应时间 2 h,温度 30 ℃,样品加载量 25 μL

图 5 纸喷雾质谱法对噻二嗪的质谱分析(a)和定量分析(b)

Fig. 5 MS analysis (a) and quantitative analysis (b) of thiadiazine by paper spray-mass spectrometry

**2.3.2 方法学比较** H<sub>2</sub>S 定量分析方法包括光谱法、电化学法、色谱法和质谱法,不同方法学的比较情况列于表 1。亚甲基蓝分光光度法是根据亚甲基蓝的颜色变化确定 H<sub>2</sub>S 浓度,该方法的检出限低,但线性范围窄<sup>[26]</sup>;催化发光传感器利用固体催化剂对 H<sub>2</sub>S 的特异性使催化剂表面发光,进而实现 H<sub>2</sub>S 检测,该方法分析速度快,但检出限高<sup>[27]</sup>、误差大;电化学传感器法是通过电化学反应产生的电流变化确定 H<sub>2</sub>S 浓度,该方法的线性范围宽<sup>[28]</sup>,但使用寿命短;气相色谱是检测易挥发性化合物的常用方法,但在检测原油中 H<sub>2</sub>S 时,需先在密闭环境将原油加热至流动,使其中的 H<sub>2</sub>S 以气态形式释放,然后采用气体吹扫方法使其进入气相色谱仪进行检测,该方法的检出限低<sup>[29]</sup>,但操

作过程繁琐、分析误差大;质谱法可直接分析经有机溶剂萃取的原油反应样品,具有样品用量少、操作简单等优点。本实验采用纳升电喷雾电离源(nanoESI)-质谱法对 H<sub>2</sub>S 进行定量分析,检出限为 0.960 μg/L,结果示于附图 2。相比以上方法,PSI 对 H<sub>2</sub>S 分析具有更高的灵敏度和更低的检出限,分析过程所需的耗材价格低廉,同时无需对管路系统进行繁琐的洗涤等步骤,在 H<sub>2</sub>S 定量分析方面有着良好的应用前景。

## 2.4 实际样品检测

分别移取 6 种 10 μL 原油样品、1 μL 1 g/L 三嗪标准水溶液和 989 μL 乙腈溶液,30 ℃ 静置 2 h 后进样分析,6 种原油样品中 H<sub>2</sub>S 的检测结果列于表 2。可见,原油 1 中未检测出 H<sub>2</sub>S;原油 2~6 中均检测出了 H<sub>2</sub>S,但含量较

表 1 不同方法对 H<sub>2</sub>S 分析性能的对比Table 1 Comparison of the analysis performance of H<sub>2</sub>S using different methods

方法 Method		线性范围 Linear range/(mg/L)	检出限 LOD/(mg/L)	参考文献 Reference
光谱法	亚甲基蓝分光光度法	0.1~0.8	0.004	[26]
	纳米 MgO 催化发光	2.0~200	0.8	[27]
电化学法	化学传感器检测	4~4000	2.00	[28]
气相色谱法	多维气相色谱法	1~500	0.50	[29]
质谱法	纳升电喷雾电离源	0.001~1	$0.96 \times 10^{-3}$	
	纸喷雾质谱技术	$0.1 \times 10^{-6} \sim 1.0 \times 10^{-3}$	$0.41 \times 10^{-4}$	本方法

表 2 精密度和加标回收率实验结果(*n*=6)Table 2 Results of precision and apiked recovery (*n*=6)

样品 Sample	测定值 Original/(μg/L)	加标量 Added/(μg/L)	加标测定值 Founded/(μg/L)	回收率 Average recovery/%	相对标准偏差 RSD/%
原油 1	未检出	10	9.5	95.0	1.2
		100.0	92.4	92.4	3.3
原油 2	11.4	10.0	21.2	98.2	2.2
		100.0	110.5	92.1	4.5
原油 3	10.9	10.0	21.2	102.8	2.8
		100.0	110.0	91.7	4.2
原油 4	11.5	10.0	21.6	100.9	4.3
		100.0	109.3	93.9	3.1
原油 5	11.0	10.0	21.9	103.5	3.7
		100.0	110.1	91.8	2.8
原油 6	61.4	50.0	112.1	101.1	3.7
		100.0	159.8	97.4	2.0

低。在 10、50、100 μg/L 添加水平下, 进行回收率测定, 计算出回收率为 91.7%~103.5%, 标准偏差为 1.2%~4.3%。

### 3 结论

本研究基于三嗪与硫化氢反应生成噻二嗪的原理, 建立了一种操作简单、分析速度快、耗材低廉的纸喷雾电离源-质谱法用于检测复杂油样中硫化氢。该方法具有检出限低(0.041 μg/L)、回收率高(91.7%~103.5%)、精密度好(1.2%~4.3%)等优点, 有望成为分析复杂原油中硫化氢的可选策略。

### 参考文献:

- [1] MARRIOTT R, PIRZADEH P, MARRUGO-HERNANDEZ J J, RAVAL S. Hydrogen sulfide formation in oil and gas[J]. Canadian Journal of Chemistry, 2015, 94(4): 406-413.
- [2] NATUSCH D, SEWELL J R, TANNER R L. Determination of hydrogen sulfide in air-an assessment of impregnated paper tape methods[J]. Analytical Chemistry, 1974, 46(3): 410-415.
- [3] JIANG C, WANG J, LIN M, XIA B, PEI Q, SHEN C. Method of improving the efficiency of determination of hydrogen sulfide in natural gas by iodometry[J]. Chemical Analysis and Meterage, 2017, 26(6): 82-85.

- [4] ABDALLA M A, FOGG A G, BABER J G, BURGESS C. Air-segmented continuous-flow visible spectrophotometric determination of cephalosporins in drug formulations by alkaline degradation to hydrogen sulphide and formation of methylene blue and determination of sulphide-producing impurities including cephalos[J]. Analyst, 1983, 108(1 282): 53-58.
- [5] MANGANI F, BRUNER F, PENNA N. Interferences in determination of hydrogen sulfide in air by gas chromatography with flame photometric detection[J]. Analytical Chemistry, 1983, 55 (13): 2 193-2 194.
- [6] HESHKA N E, HAGER D B. A multidimensional gas chromatography method for the analysis of hydrogen sulfide in crude oil and crude oil headspace[J]. Journal of Separation Science, 2014, 37(24): 3 649-3 655.
- [7] 曾小嵒, 刘君, 李丹, 赖瑾瑾, 刘建华. 离子色谱法间接检测原油中的硫化氢含量[J]. 分析测试学报, 2006, 25(6): 108-111.  
ZENG Xiaolan, LIU Jun, LI Dan, LAI Jinjin, LIU Jianhua. Indirect determination of  $\text{H}_2\text{S}$  in crude oils by ion chromatography[J]. Journal of Instrumental Analysis, 2006, 25(6): 108-111(in Chinese).
- [8] 王喜全, 佟岩. 荧光分光光度法测定废水中微量硫化物[J]. 理化检验(化学分册), 2004, 40(6): 322-323.  
WANG Xiquan, TONG Yan. Determination of trace sulfide in wastewater by fluorescence spectrophotometry[J]. Physical Testing and Chemical Analysis (Part B: Chemical Analysis), 2004, 40(6): 322-323(in Chinese).
- [9] 杜方凯, 张慧, 谭学才, 冯德芬, 罗燕妮. 基于氮掺杂石墨烯量子点/硫化镉纳米晶电化学发光传感器检测硫化氢[J]. 分析化学, 2020, 48(2): 240-247.  
DU Fangkai, ZHANG Hui, TAN Xuecai, FENG Defen, LUO Yanni. Detection of hydrogen sulfide based on nitrogen-doped graphene quantum dots/cadmium sulfide nanocrystalline electrochemiluminescence sensor[J]. Chinese Journal of Analytical Chemistry, 2020, 48(2): 240-247(in Chinese).
- [10] JIN Y, LIU R, ZHAN Z, LV Y. Fast response near-infrared fluorescent probe for hydrogen sul-
- fide in natural waters[J]. Talanta, 2019, 202: 159-164.
- [11] 张继东, 赵波, 陈庆东, 楚民生, 朱亚冠, 程欲晓. 液相萃取-电化学传感器法快速测定原油和燃料油中硫化氢[J]. 理化检验(化学分册), 2020, 56 (7): 5-9.  
ZHANG Jidong, ZHAO Bo, CHEN Qingdong, CHU Minsheng, ZHU Yaguan, CHENG Yuxiao. Liquid extraction-electrochemical sensor method for rapid determination of hydrogen sulfide in crude oil and fuel oil[J]. Physical Testing and Chemical Testing (Part B: Chemical Analysis), 2020, 56(7): 5-9(in Chinese).
- [12] JOHN B F, CHIN M M, MENG K. Electrospray ionization-principles and practice[J]. Mass Spectrometry Reviews, 1990, 9: 37-70.
- [13] COOKS R G, OUYANG Z, TAKATS Z. Ambient mass spectrometry[J]. Science, 2006, 311 (5 767): 1 566-1 570.
- [14] CODY R B. Observation of molecular ions and analysis of nonpolar compounds with the direct analysis in real time ion source[J]. Analytical Chemistry, 2009, 81(3): 1 101-1 107.
- [15] CHEN H W, VENTER A, COOKS R G. Extractive electrospray ionization for direct analysis of undiluted urine, milk and other complex mixtures without sample preparation[J]. Chemical Communication, 2006, 42(19): 2 042-2 044.
- [16] HARPER J D, CHARIPAR N A, MULLIGAN C C, ZHANG X, COOKS R G, OUYANG Z. Low-temperature plasma probe for ambient desorptionionization[J]. Analytical Chemistry, 2008, 80(23): 9 097-9 104.
- [17] LIU J, WANG H, MANICKE N E. Development characterization and application of paper spray ionization[J]. Analytical Chemistry, 2010, 82(6): 2 463-2 471.
- [18] MADSEN H, SGAARD E. Use of ESI-MS to determine reaction pathway for hydrogen sulphide scavenging with 1,3,5-tri-(2-hydroxyethyl)-hexahydro-s-triazine[J]. European Journal of Mass Spectrometry, 2012, 18(4): 377-383.
- [19] MADSEN H, SGAARD E. Fouling formation during hydrogen sulfide scavenging with 1,3,5-tri-(hydroxyethyl)-hexahydro-s-triazine[J]. Liquid Fuels Technology, 2014, 32 (18): 2 230-2 238.

- [20] WANG X, ZHENG Y, SHI J, GONG X, JI Y, HAN W, ZHANG Z. Elucidating the reaction mechanisms between triazine and hydrogen sulfide with pH variation using mass spectrometry [J]. Analytical Chemistry, 2018, 90: 11 138-11 145.
- [21] WANG H, LIU J, COOKS R G, OUYANG Z. Paper spray for direct analysis of complex mixtures using mass spectrometry[J]. Angewandte Chemie, 2010, 49(5): 877-880.
- [22] JJUNJU F, DAMON D E, ROMERO-PEREZ D, YOUNG I S, BADU-TAWIAH A K. Analysis of non-conjugated steroids in water using paper spray mass spectrometry[J]. Scientific Reports, 2020, 10(1): 10 698-10 700.
- [23] 许泽汝,赵佳,郑亚君,牛志逢,向志诚,张智平.纸喷雾软电离质谱分析性能研究[J].质谱学报,2021,42(4):390-399.  
XU Zeru, ZHAO Jia, ZHENG Yajun, NIU Zhifeng, XIANG Zhicheng, ZHANG Zhiping. Exploration of the soft ionization performance of paper spray mass spectrometry[J]. Journal of Chinese Mass Spectrometry Society, 2021, 42 (4): 390-399(in Chinese).
- [24] CHEN S, CHANG Q, YIN K, HE Q, DENG Y, CHE B. Rapid analysis of bisphenol a and its analogues in food packaging products by paper spray ionization mass spectrometry[J]. Journal of Agricultural and Food Chemistry, 2017, 65 (23): 4 859-4 865.
- [25] PAULA C C A D, VALADARES A, JURISCH M, PICCIN E, AUGUSTI R. Paper spray mass spectrometry applied in the monitoring of a chemical system in dynamic chemical equilibrium: the redox process of methylene blue[J]. Rapid Communications in Mass Spectrometry, 2016, 30 (9): 1 176-1 180.
- [26] 唐东林,张琪,柯志军,王瞧,凌彦群,阚莉,姜茂林. 亚甲基蓝分光光度法测定硫化物测定方法的改进及分析适合性判断[C]. 中国科学技术协会. 第十六届中国科协年会论文集, 2014: 164-168.
- [27] 张国义,尹智伟,李飞,蒋玲,张仟春. 纳米 MgO 催化发光检测硫化氢[J]. 分析测试学报,2017, 36(9):1 150-1 154.  
ZHANG Guoyi, YIN Zhiwei, LI Fei, JIANG Ling, ZHANG Qianchun. Detection of hydrogen sulfide using a cataluminescence sensor based on nano-MgO[J]. Journal of Instrumental Analysis, 2017, 36(9): 1 150-1 154(in Chinese).
- [28] SHANG H, XU H, LIU Q, DU Y. PdCu alloy nanosheets-constructed 3D flowers: new highly sensitive materials for H<sub>2</sub>S detection[J]. Sensors and Actuators B: Chemical, 2019, 289(6): 260-268.
- [29] HESHKA N E, HAGER D B. A multidimensional gas chromatography method for the analysis of hydrogen sulfide in crude oil and crude oil headspace[J]. Separation Science, 2014, 37 (24): 3 649-3 655.

(收稿日期:2022-01-24;修回日期:2022-04-12)